

*А. Д. Матвеев***Построение сложных многосеточных элементов с неоднородной и микронеоднородной структурой\****A. D. Matveev***Constructing the Composite Multi-Grid Elements of Heterogeneous and Micro-Heterogeneous Structures**

Предложены процедуры построения сложных многосеточных конечных элементов формы прямоугольного параллелепипеда, которые имеют неоднородную и микронеоднородную структуру. Процедура построения сложных многосеточных элементов сводится к построению некоторой системы вложенных композитных двухсеточных конечных элементов. Для построения двухсеточного элемента применяем две вложенные сетки: мелкую и крупную. Мелкая сетка порождена базовым разбиением двухсеточного элемента, которое учитывает его структуру, крупную сетку определяем на всей области данного элемента. С помощью аппроксимаций, построенных на крупной сетке, функционал полной потенциальной энергии двухсеточного элемента, отвечающий базовому разбиению, проецируем на крупную сетку. В результате минимизации этого функционала получаем формулы для вычисления матрицы жесткости и вектора узловых сил двухсеточного конечного элемента.

Достоинства сложных многосеточных элементов заключаются в том, что они учитывают неоднородную и микронеоднородную структуру, образуют дискретные модели трехмерных композитных тел малой размерности и порождают решения с заданной погрешностью, при этом напряжения определяются в любом компоненте неоднородной и микронеоднородной структуры сложных многосеточных конечных элементов.

**Ключевые слова:** упругость, трехмерные тела, неоднородная, микронеоднородная структура, сложные многосеточные элементы.

DOI 10.14258/izvasu(2014)1.1-18

**Введение.** Расчет упругих трехмерных тел с неоднородной и микронеоднородной структурой по методу конечных элементов с учетом их структуры сводится к построению систем уравнений методом конечных элементов высокого порядка [1, с. 294; 2, с. 59]. В связи этим разработаны многосеточные конечные элементы [3, с. 3; 4, с. 161]. Существуют два типа таких элементов. Для построения  $m$ -сеточного

In this paper, construction of complex composite multi-grid finite cuboid elements with heterogeneous and micro — heterogeneous structures is presented. The procedure for constructing complex multi-grid elements reduces to construction of a system of embedded composite two-grid finite elements. Both fine and coarse embedded grids are used to construct a double-grid element. Fine grid is generated after discretization of the double-grid element with consideration of its structure. Coarse grid is defined over the whole area of the element. Coarse grid approximations project the total potential energy functional of the double-grid element with base discretization on a coarse grid. Equations for calculating stiffness matrix and vector of nodal forces are obtained by functional minimization procedures for the energy functional.

Consideration of heterogeneous and micro-heterogeneous structures is one of the advantages of composite multi-grid elements. It is used for developing discrete models of small three-dimensional composite solids and obtaining solutions with specified errors. Thus, stresses can be estimated for every component of heterogeneous structure of composite multi-grid finite elements.

**Key words:** elasticity, three-dimensional solids, heterogeneous structure, micro-inhomogeneous structure, composite multi-grid elements.

конечного элемента, имеющего неоднородную структуру, применяем  $m$  вложенных узловых сеток. Самая мелкая сетка порождена базовым разбиением многосеточных конечных элементов, которое учитывает их неоднородную структуру. Остальные  $m-1$  сетки для многосеточных конечных элементов первого типа определяются на его области, для многосеточных конечных элементов второго типа — на его границе.

\* Работа выполнена при финансовой поддержке РФФИ (проект 11-01-00053).

В случае, когда размеры высокомодульных частиц и толщина волокон очень малы, для учета неоднородной (микронеоднородной) структуры тела необходимо использовать достаточно мелкие базовые разбиения многосеточных конечных элементов. Это приводит к резкому увеличению временных затрат на реализацию алгоритма построения матрицы жесткости и вектора узловых сил многосеточных конечных элементов.

В данной работе разработаны сложные многосеточные конечные элементы формы прямоугольного параллелепипеда, которые имеют неоднородную и микронеоднородную структуру. Процедура построения сложных многосеточных конечных элементов сводится к построению некоторой системы вложенных двухсеточных конечных элементов. Достоинства сложных многосеточных конечных элементов состоят в том, что они:

- учитывают неоднородную и микронеоднородную структуру трехмерных упругих тел;
- образуют многосеточные дискретные модели трехмерных композитных тел, число узловых неизвестных которых на несколько порядков меньше числа неизвестных базовых моделей;
- порождают решения с заданной погрешностью, при этом напряжения определяются в любом компоненте неоднородной (микронеоднородной) структуры многосеточных конечных элементов.

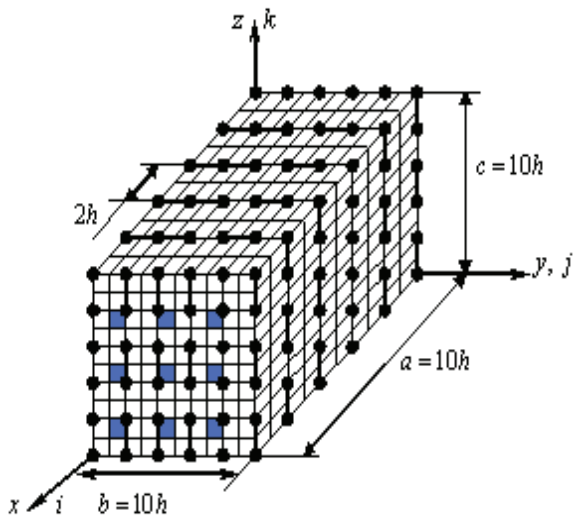


Рис. 1. Сетки двухсеточного конечного элемента  $V_c^3$

Базовое разбиение двухсеточного конечного элемента  $V_i^2$  учитывает его неоднородную (микронеоднородную) структуру и порождает мелкую сетку  $W_i^1$  размерности  $m_1 \times m_2 \times m_3$  с шагом  $h$  по осям  $Ox$ ,  $Oy$ ,  $Oz$ ; для рисунка 1 имеем  $m_1 = m_2 = m_3 = 11$ . На мел-

Процедура построения сложных многосеточных конечных элементов базируется на алгоритмах метода конечных элементов и поэтому удобно реализуется на ЭВМ. Реализация методом конечных элементов для многосеточных дискретных моделей трехмерных упругих тел, состоящих из сложных многосеточных конечных элементов, требует меньше памяти ЭВМ и временных затрат, чем для базовых моделей.

**1. Процедура построения двухсеточных конечных элементов.** Изложение данной процедуры проведем для двухсеточного конечного элемента  $V_i^2$  первого типа неоднородной (микронеоднородной) структуры формы прямоугольного параллелепипеда размерами  $a \times b \times c$  (см. рис. 1). Считаем, что между компонентами неоднородной структуры двухсеточного конечного элемента  $V_i^2$  связи идеальны, а функции перемещений, напряжений и деформаций этих компонентов удовлетворяют закону Гука и соотношениям Коши, отвечающим трехмерной задаче теории упругости [5, с. 40], т. е. во всей области двухсеточного конечного элемента  $V_i^2$  реализуется трехмерное напряженное состояние. Область двухсеточного конечного элемента  $V_i^2$  представляем базовым разбиением, состоящим из однородных односеточных конечных элементов  $V_j^h$  первого порядка формы куба со стороной  $h$  [1, с. 135],  $j = 1, \dots, M$ ;  $M$  – общее число конечных элементов  $V_j^h$ . На рисунке 1 показано базовое (мелкое) разбиение двухсеточного конечного элемента  $V_i^2$  на конечные элементы  $V_j^h$ .

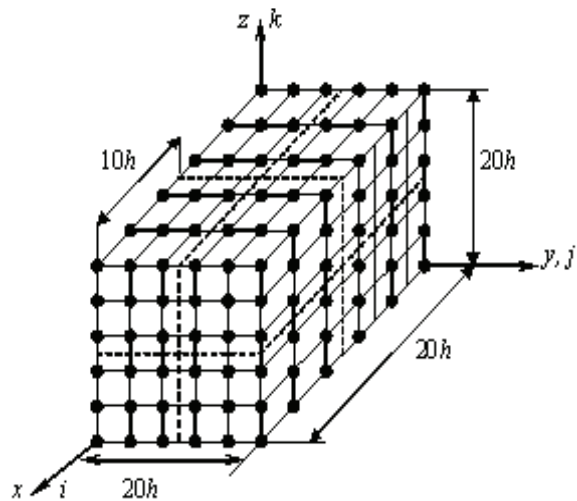


Рис. 2. Крупная сетка трехсеточного конечного элемента  $V_i^2$

кой сетке  $W_i^1$  определяем крупную сетку  $W_i^2$  размерности  $n_1 \times n_2 \times n_3$  с шагами:  $H_1$  — по оси  $Ox$ ,  $H_2$  — по оси  $Oy$  и  $H_3$  — по оси  $Oz$ , причем  $H_1 = k_1 h$ ,  $H_2 = k_2 h$ ,  $H_3 = k_3 h$ , где  $k_1, k_2, k_3$  — целые. На рисунке 1 узлы крупной сетки  $W_i^2$  отмечены точками,

$k_1 = k_2 = k_3 = 2, H_1 = H_2 = H_3 = 2h, n_1 = n_2 = n_3 = 6$ . Полную потенциальную энергию  $\dot{I}_i^2$  базового разбиения двухсеточного конечного элемента  $V_i^2$  представим в виде [1, с. 32]

$$\Pi_i^2 = \sum_{j=1}^M \left( \frac{1}{2} \mathbf{q}_j^T [K_j^h] \mathbf{q}_j - \mathbf{q}_j^T \mathbf{P}_j \right), \quad (1)$$

где  $[K_j^h]$  — матрица жесткости;  $\mathbf{P}_j, \mathbf{q}_j$  — векторы узловых сил и неизвестных конечных элементов  $V_j^h$  базового разбиения двухсеточного конечного элемента;  $T$  — транспонирование.

С помощью полиномов Лагранжа [6, с. 187] на сетке  $W_i^2$  определяем аппроксимирующие функции  $u_2, v_2, w_2$  для перемещений  $u, v, w$  двухсеточного конечного элемента  $V_i^2$ , которые запишем в форме

$$u_2 = \sum_{i=1}^{n_1} \sum_{j=1}^{n_2} \sum_{k=1}^{n_3} N_{ijk} u_{ijk}, \quad v_2 = \sum_{i=1}^{n_1} \sum_{j=1}^{n_2} \sum_{k=1}^{n_3} N_{ijk} v_{ijk},$$

$$w_2 = \sum_{i=1}^{n_1} \sum_{j=1}^{n_2} \sum_{k=1}^{n_3} N_{ijk} w_{ijk}, \quad (2)$$

где  $u_{ijk}, v_{ijk}, w_{ijk}$  — искомые значения функций  $u_2, v_2, w_2$  в узле  $i, j, k$  сетки  $W_i^2$ ;  $i, j, k$  — координаты целочисленной системы координат  $ijk$ , введенной для узлов крупной сетки  $W_i^2$  (рис. 1);  $N_{ijk} = N_{ijk}(x, y, z)$  — базисная функция узла  $i, j, k$  сетки  $W_i^2, i = 1, \dots, n_1, j = 1, \dots, n_2, k = 1, \dots, n_3, N_{ijk} = L_i(x)L_j(y)L_k(z)$ ,

$$L_i(x) = \prod_{\alpha=1, \alpha \neq i}^{n_1} \frac{x - x_\alpha}{x_i - x_\alpha}, \quad L_j(y) = \prod_{\alpha=1, \alpha \neq j}^{n_2} \frac{y - y_\alpha}{y_j - y_\alpha},$$

$$L_k(z) = \prod_{\alpha=1, \alpha \neq k}^{n_3} \frac{z - z_\alpha}{z_k - z_\alpha}, \quad (3)$$

$x_i, y_j, z_k$  — координаты узла  $i, j, k$  сетки  $W_i^2$  в системе координат  $Oxyz$ .

Обозначим:  $N_\beta = N_{ijk}, u_\beta = u_{ijk}, v_\beta = v_{ijk}, w_\beta = w_{ijk}$ , где  $\beta = 1, \dots, n; n = n_1 n_2 n_3$ . Тогда выражения (2) принимают вид

$$u_2 = \sum_{\beta=1}^n N_\beta u_\beta, \quad v_2 = \sum_{\beta=1}^n N_\beta v_\beta, \quad w_2 = \sum_{\beta=1}^n N_\beta w_\beta. \quad (4)$$

Обозначим  $\mathbf{q}_i^2 = \{u_1, \dots, u_n, v_1, \dots, v_n, w_1, \dots, w_n\}^T$  — вектор узловых неизвестных крупной сетки  $W_i^2$ , т.е. вектор неизвестных двухсеточного конечного элемента  $V_i^2$ . Используя (4), компоненты вектора  $\mathbf{q}_j$  узловых неизвестных конечных элементов  $V_j^h$  выражаем через компоненты вектора  $\mathbf{q}_i^2$ , в результате получим равенство

$$\mathbf{q}_j = [A_j^2] \mathbf{q}_i^2, \quad (5)$$

где  $[A_j^2]$  — прямоугольная матрица;  $j = 1, \dots, M$ .

Подставляя (5) в выражение (1), из условия  $\partial \dot{I}_i^2 / \partial \mathbf{q}_i^2 = 0$  получаем уравнение  $[K_i^2] \mathbf{q}_i^2 = \mathbf{F}_i^2$ , где

$$[K_i^2] = \sum_{j=1}^M [A_j^2]^T [K_j^h] [A_j^2], \quad \mathbf{F}_i^2 = \sum_{j=1}^M [A_j^2]^T \mathbf{P}_j, \quad (6)$$

$[K_i^2], \mathbf{F}_i^2$  — матрица жесткости и вектор узловых сил двухсеточного конечного элемента  $V_i^2$  первого типа.

*Замечание 1.* Решение, построенное для крупной сетки  $W_i^2$  двухсеточного конечного элемента  $V_i^2$  с помощью формулы (5), проецируется на мелкую сетку  $W_i^1$  базового разбиения двухсеточного конечного элемента, что дает возможность вычислять напряжения в любом конечном элементе  $V_j^h$  базового разбиения двухсеточного конечного элемента  $V_i^2$  и, следовательно, можно определять напряжения в любом компоненте неоднородной структуры двухсеточного конечного элемента  $V_i^2$ .

**2. Процедура построения сложных многосеточных конечных элементов.** Основные положения процедуры построения сложного многосеточного конечного элемента покажем на примере построения сложного трехсеточного конечного элемента  $V_e^3$  с неоднородной (микронеоднородной) структурой формы прямоугольного параллелепипеда (рис. 2). Область трехсеточного конечного элемента  $V_e^3$  представляем двухсеточным конечным элементом  $V_i^2, i = 1, \dots, M_2$ .  $M_2$  — общее число двухсеточного конечного элемента  $V_i^2$ . При этом двухсеточный конечный элемент  $V_i^2$  имеет одинаковые геометрические размеры, мелкие  $W_i^1$  и крупные  $W_i^2$  сетки (одинаковые базовые разбиения). На рисунке 2 трехсеточный конечный элемент  $V_e^3$  (размерами  $20h \times 20h \times 20h$ ) состоит из восьми двухсеточных конечных элементов  $V_i^2$  (размерами  $10h \times 10h \times 10h$ ). Границы двухсеточного конечного элемента  $V_i^2$  на рисунке 2 отмечены пунктирными линиями, т.е.  $M_2 = 8$ . Базовые разбиения двухсеточного конечного элемента  $V_i^2$  учитывают неоднородную (микронеоднородную) структуру трехсеточного конечного элемента  $V_e^3$ . Совокупность крупных сеток  $W_i^2$  двухсеточного конечного элемента  $V_i^2 (i = 1, \dots, M_2)$  образует крупную сетку  $W_2$ . На крупной сетке  $W_2$  определяем более крупную сетку  $W_e^3$  размерности  $\alpha_1 \times \alpha_2 \times \alpha_3$ . На рисунке 2 узлы крупной сетки  $W_e^3$  отмечены точками,  $\alpha_1 = \alpha_2 = \alpha_3 = 6$ . Аппроксимирующие функции перемещений  $u_3, v_3, w_3$ , построенные на сетке  $W_e^3$ , применяем в виде

$$u_3 = \sum_{\beta=1}^m N_\beta^3 q_\beta^u, \quad v_3 = \sum_{\beta=1}^m N_\beta^3 q_\beta^v, \quad w_3 = \sum_{\beta=1}^m N_\beta^3 q_\beta^w, \quad (7)$$

где  $N_\beta^3$  — базисная функция  $\beta$ -го узла крупной сетки  $W_e^3$ ;  $q_\beta^u, q_\beta^v, q_\beta^w$  — значения соответственно функций  $u_3, v_3, w_3$  в  $\beta$ -м узле сетки  $W_e^3; m = \alpha_1 \alpha_2 \alpha_3$ .

Полную потенциальную энергию  $\dot{I}_e^3$  трехсеточного конечного элемента  $V_e^3$  представляем как сумму полных потенциальных энергий двухсеточного конечного элемента  $V_i^2, i = 1, \dots, M_2$ , т.е.

$$\Pi_e^3 = \sum_{i=1}^{M_2} \left( \frac{1}{2} (q_i^2)^T [K_i^2] q_i^2 - (q_i^2)^T F_i^2 \right), \quad (8)$$

где  $M_2$  — общее число элементов двухсеточного конечного элемента  $V_i^2$ .

Обозначим через  $\mathbf{q}_e^3$  вектор узловых неизвестных крупной сетки  $W_e^3$  трехсеточного конечного элемента  $V_e^3$ . Используя (7), вектор  $\mathbf{q}_i^2$  узловых неизвестных двухсеточного конечного элемента  $V_i^2$  выражаем через вектор  $\mathbf{q}_e^3$  узловых неизвестных крупной сетки  $W_e^3$ , т. е. строим равенство

$$\mathbf{q}_i^2 = [A_i^3] \mathbf{q}_e^3, \quad (9)$$

где  $[A_i^3]$  — прямоугольная матрица;  $i = 1, \dots, M_2$ .

Подставляя (9) в выражение (8), из условия  $\partial \bar{I}_e^3 / \partial \mathbf{q}_e^3 = 0$  получаем матричное уравнение  $[K_e^3] \mathbf{q}_e^3 = \mathbf{F}_e^3$ , где

$$[K_e^3] = \sum_{i=1}^{M_2} [A_i^3]^T [K_i^2] [A_i^3], \quad \mathbf{F}_e^3 = \sum_{i=1}^{M_2} [A_i^3]^T \mathbf{F}_i^2, \quad (10)$$

$[K_e^3]$ ,  $\mathbf{F}_e^3$  — матрица жесткости и вектор узловых сил сложного трехсеточного конечного элемента  $V_e^3$ .

*Замечание 2.* Как показывают расчеты, погрешность решения, построенного методом конечных элементов для трехмерного тела, для которого заданы геометрические размеры, композитная структура, закрепление и нагружение с применением двухсеточного конечного элемента  $V_i^2$  и сложного трехсеточного конечного элемента  $V_e^3$  определенных размеров зависят от соотношения шагов узловых вложенных сеток  $W_i^1$ ,  $W_i^2$ ,  $W_e^3$ .

Построение сложных четырехсеточных конечных элементов формы прямоугольного параллелепипеда с применением сложных трехсеточных и двухсеточных конечных элементов аналогично вышеописанной процедуре.

**3. Результаты расчетов.** Рассмотрим в декартовой системе координат  $Oxyz$  модельную задачу о деформировании композитного трехмерного тела  $V_1$  размерами  $20h \times 120h \times 20h$  (рис. 3). При  $y = 0$  тело  $V_1$  закреплено, граница крепления тела на рисунке 3 заштрихована. На верхней поверхности тела  $V_1$  (при  $z = 20h$ ,  $h = 0,5$ ) в точках с координатами  $z = 20h$ ,  $x_k$ ,  $y_i$  заданы силы  $q_z = 0,15$ ;  $x_k = 8h + 4h(k - 1)$ ,  $y_i = 20h + 4h(i - 1)$ ,  $k = 1, \dots, 4$ ;  $i = 1, \dots, 26$  (рис. 3).

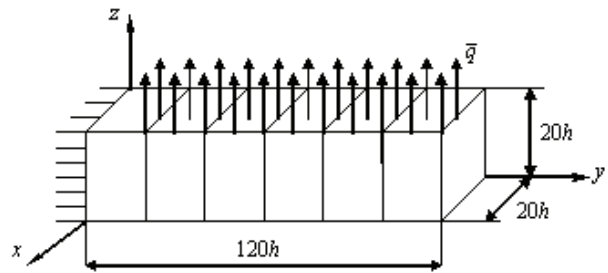


Рис. 3. Схема нагружения тела  $V_1$

Базовая дискретная модель тела  $V_1$  состоит из изотропных однородных конечных элементов 1-го порядка формы куба со стороной  $h$ . Многосеточная дискретная модель тела  $V_1$  — из сложных трехсеточных конечных элементов  $V_e^3$  (рис. 2), состоящих из восьми двухсеточных конечных элементов  $V_i^2$  размерами  $10h \times 10h \times 10h$  (см. рис. 1). Тело  $V_1$  армировано волокнами (с поперечным сечением  $h \times h$ ), направленными вдоль оси  $Oy$ . На рисунке 1 сечения волокон закрашены. Модуль Юнга связующего материала тела  $V_1$  равен 1, волокон — 10, коэффициент Пуассона — 0,3.

Анализ результатов расчетов показывает, что максимальное перемещение  $w_h = 356,992$  многосеточной дискретной модели тела  $V_1$  отличается от максимального перемещения  $w_0 = 388,653$  базовой модели на 8,14%. Максимальные эквивалентные напряжения  $\sigma_h = 14,580$  многосеточной дискретной модели тела и  $\sigma_0 = 15,578$  базовой модели отличаются на 5,75%. Базовая дискретная модель тела имеет 158760 узловых неизвестных, ширина ленты системы уравнений метода конечных элементов равна 2784. Многосеточная дискретная модель тела содержит 3240 узловых неизвестных, ширина ленты — 1296, т. е. занимает в 100 раз меньше объема памяти ЭВМ, чем базовая. Время реализации метода конечных элементов для многосеточной дискретной модели в 12 раз меньше, чем для базовой. Отметим, что при  $h = 0,5$  мм волокна имеют поперечное сечение размерами  $0,5 \times 0,5$  мм, т. е. тело  $V_1$  размерами  $1 \times 6 \times 1$  см имеет микронеоднородную структуру.

### Библиографический список

1. Зенкевич О. Метод конечных элементов в технике. — М., 1975.
2. Фудзии Т., Дзако М. Механика разрушения композиционных материалов. М., 1982.
3. Матвеев А. Д. Некоторые подходы проектирования упругих многосеточных конечных элементов // Деп. в ВИНИТИ. — № 2990-В00. — 2000.
4. Матвеев А. Д. Многосеточное моделирование композитов нерегулярной структуры с малым коэффициентом наполнения // ПМТФ. — 2004. — № 3.
5. Самуль В. И. Основы теории упругости и пластичности. — М., 1982.
6. Норри Д., де Фриз Ж. Введение в метод конечных элементов. — М., 1981.